DOI: 10. 13652/j. issn. 1003-5788, 2016, 02, 035

# 神秘果种子多酚大孔树脂纯化工艺研究

Purification of polyphenols from *Synsepalum dulcificum* seed with macroporous resins

马艺丹1 刘 红1,2 马思聪1 闫瑞昕1 廖小伟1

MA Yi-dan<sup>1</sup> LIU Hong<sup>1,2</sup> MA Si-cong<sup>1</sup> YAN Rui-xin<sup>1</sup> LIAO Xiao-wei<sup>1</sup> (1. 海南师范大学化学与化工学院,海南 海口 571158;

2. 热带特色药食同源植物研究与开发重点实验室,海南 海口 571127)

(1. College of Chemistry and Chemical Engineering, Hainan Normal University, Haikou, Hainan 571158, China; 2. Key Laboratory of Research and Development on Topical and Special Medicine and Edible Plant, Haikou, Hainan 571127, China)

摘要:分别采用6种大孔树脂(AB-8、D101、HPD-500、S-8、DM130、X-5)纯化神秘果种子多酚,以吸附量、吸附率、解吸量、解吸率为评定参数,优选出X-5为最佳树脂。研究其吸附等温线,发现其与Langmuir等温线拟合良好。静态吸附与解吸结果表明:最佳pH5.8,最佳解吸液为70%乙醇。动态吸附与解吸结果表明:最优样品液浓度为1.2 mg/mL,吸附液体积为100 mL,解吸液体积为50 mL,吸附流速为1.0 mg/mL,解吸流速为1.5 mg/mL。研究结果表明:经X-5 纯化后的神秘果种子多酚含量提高了2倍,T-AOC测定总抗氧化能力提高了2.5倍。说明该工艺适用于神秘果种子多酚的纯化。

关键词:神秘果;多酚;纯化;抗氧化活性;大孔树脂

Abstract: Taking the absorbability and desorption properties as parameters, the purifying conditions of polyphenol from *Synsepalum dulci ficum* seed by macroporous resins, compared with five types of macroporous resins were investigated. The result showed that the X-5 macroporous resins was the best one. Through a nonlinear curve fitting with the Langmuir adsorption models, it was found that the fitting degree of adsorption isotherm and Langmuir function curve was very high. The optimal adsorption process conditions were as followed: pH 5. 8, 1. 0 mL/min adsorption velocity. Besides, the best desorption conditions were: sample volume 100 mL, desorption velocity of flow 1.5 mL/min, dynamically elute with 50 mL concentration of desorption soluntion 70%. After being separated and puri-

基金项目:国家自然科学基金资助项目(编号:2166009);海南省社会 发展专项(编号:2015SF11);海口市应用技术研究与开发 项目(编号:2014-90);海南省省级创新训练项目(编号:2013116580)

作者简介:马艺丹,女,海南师范大学在读硕士研究生。

**通讯作者**:刘红(1967—),女,海南师范大学教授,博士,硕士生导师。 E-mail;lhyd123@sohu.com

收稿日期:2015-11-28

fied by resin, the polyphenol content improved about 2 times and total antioxidant capacity significantly improved about 2.5 times. The method can be used for purification of polyphenols from Synsepalum dulci ficum seed.

**Keywords**: Synsepalum dulcificum; polyphenol; purification; antioxidant activity; macroporous resins

神秘果又称变味果或蜜拉圣果,属山榄科,是一种天然的药食同源植物,目前国内外已大量种植<sup>[1]</sup>。据报道<sup>[2]</sup>,其种子中含有大量的多酚类物质(11.54 mg/g)。医学研究<sup>[3]</sup>表明,氧化损伤是导致许多慢性疾病,如血管病、癌症和衰老性疾病的重要原因,多酚的抗氧化功能可以对这些慢性病起到预防作用。

目前纯化多酚的方法主要有:柱层析分离法、色谱分离法、膜分离法等[4]。其中大孔树脂可作为柱层析的填料。大孔树脂具有良好的物化性质,无污染,操作简单,高选择性、大吸附量、易再生、易吸附、易解吸等优点,已广泛用于多酚、黄酮等目标成分的分离纯化<sup>[5]</sup>,但却尚未见此法用于纯化神秘果种子多酚的相关报道。不同成分物质所适用的大孔树脂的种类也不尽一致,极性、比表面积、孔径等均可作为参考条件<sup>[5]</sup>。因此,本试验拟以神秘果种子为研究原料,分别采用6种大孔树脂(AB-8、D101、HPD-500、S-8、DM130、X-5)纯化神秘果种子多酚,优选大孔树脂以及最优纯化工艺条件,旨为神秘果种子多酚的工业化纯化生产提供理论依据。

# 1 材料与方法

#### 1.1 材料与试剂

神秘果种子:采摘于海南省保亭县;

大孔吸附树脂(表 1): AB-8、D101、HPD-500、S-8、DM130、X-5型,天津南开大学化工厂;

表 1 6 种大孔树脂的理化性能指标

Table 1 The physical and chemical performance of six macroporous resins

树脂型号	外观	极性	比表面积/ (m <sup>2</sup> · g <sup>-1</sup> )	粒径范围/ mm	平均孔径/ nm
AB-8	乳白色半透明球状颗粒	弱极性	480~520	0.315~1.250	12~16
D101	乳白色不透明球状颗粒	非极性	$500 \sim 550$	0.300~1.250	$10 \sim 12$
HPD-500	白色不透明球状颗粒	极性	$500 \sim 550$	0.300~1.250	$55 \sim 75$
S-8	黄色不透明球状颗粒	极性	$100 \sim 120$	0.300~1.250	$28 \sim 30$
DM130	乳白色不透明球状颗粒	中极性	$500 \sim 550$	0.300~1.250	$9 \sim 10$
X-5	乳白色不透明球状颗粒	弱极性	500~600	0.300~1.250	29~30

无水碳酸钠、丙酮、石油醚、无水乙醇:分析纯,国药集团 化学试剂有限公司;

没食子酸标准品:分析纯,上海金穗生物科技有限公司; 福林酚试剂:分析纯,美国 Sigma 公司。

### 1.2 主要仪器设备

超声波清洗仪: XO-5200DTS型, 南京先欧仪器制造有限公司;

双光束紫外可见分光光度计:i8型,济南海能仪器股份有限公司;

实验室纯水机: Unique-R10(UV+UF)型,厦门锐思捷科学仪器有限公司;

电子天平:TP-214型,丹佛仪器北京有限公司;

数显恒温水浴锅: HH-1 型, 江苏智博瑞仪器制造有限公司:

回旋振荡器; THZ-82A型, 金坛市荣华仪器制造有限公司;

蠕动泵:BT-100CA型,重庆市杰蠕动泵有限公司。

# 1.3 方法

# 1.3.1 大孔树脂预处理流程

分别取 6 种大 孔 树脂 (AB-8、D101、HPD-500、S-8、DM130、X-5) $\rightarrow$ 95% 乙醇浸泡 24 h(充分溶胀) $\rightarrow$ 过滤 $\rightarrow$ 反复用去离子水洗(流出液无白色浑浊,无乙醇味,中性) $\rightarrow$ 5%盐酸浸泡 12 h $\rightarrow$ 去离子水洗(中性) $\rightarrow$ 5%氢氧化钠浸泡 12 h $\rightarrow$ 去离子水淋洗(中性) $\rightarrow$ 用蒸馏水保鲜(密封备用)

## 1.3.2 多酚的提取

神秘果种子→粉碎过筛(60目)→石油醚脱脂(3倍体积石油醚,脱脂3次)→粉末烘干至恒重→双水相体系一次超声浸提(硫酸铵0.22g,60 $^{\circ}$ C,1:10(m:V),100 min,200 W)→静置分层→上层为浸提液

1.3.3 种子多酚标准曲线的建立 根据文献[6],修改如下:精密称取没食子酸对照品 0.1 g,用蒸馏水溶解,配制  $100~\mu g/m$ L的标准液。准确量取 0.00,0.05,0.10,0.15,0.20,0.25,0.30,0.35 mL 于 8 个 10 mL 容量瓶,分别精确 移取2 000,1 950,1 900,1 850,1 800,1 750,1 700,1 650  $\mu$ L 蒸馏水于 8 个容量瓶中,摇匀,分别加 2 mol/L 福林试剂 1.0 mL,静置 6 min 后分别加入 10%的碳酸钠溶液 1.0 mL,置于25  $\mathbb{C}$ 水浴中避光静置 2 h,测定溶液在 765 nm 处的吸

光值 $(A_{765})$ 。以种子多酚浓度为横坐标C(mg/mL),以吸光度A为纵坐标。

# 1.3.4 吸附树脂的初步选择

(1) 各树脂吸附量、吸附率的动态趋势:准确称取 6 种预处理后经滤纸吸干的树脂各 2 g,分别置于 150 mL 锥形瓶中,依次加入 1.2 mg/mL 多酚样品液 50 mL,密封后水浴摇床振荡(25 ℃、120 r/min、24 h),分别在开始吸附后的 0.5,1.0,2.0,3.0,4.0,6.0,8.0,10.0,12.0 h时,依次取上清液,测剩余多酚浓度,按式(1)、(2)计算吸附量、吸附率。绘制静态吸附曲线。

$$A = \frac{(C_0 - C_e) \times V_0}{m} \tag{1}$$

$$B = \frac{(C_0 - C_e)}{C_0} \times 100\% \tag{2}$$

中先

A——树脂饱和时的吸附量,mg/g;

B——树脂的吸附率,%;

 $C_0$ ——多酚提取液的初始浓度,mg/mL;

 $C_e$ ——吸附平衡后多酚的质量浓度,mg/mL;

 $V_0$ ——多酚提取液的体积, mL;

m---吸附树脂的质量,mg。

(2) 各树脂解吸量、解吸率的动态趋势:将6种充分吸附的树脂过滤后置于150 mL 锥形瓶中,加人同体积70%的乙醇,密封后摇床振荡(25  $\mathbb{C}$ 、120 r/min、8 h),分别在洗脱后的1,2,3,4,6,8 h时,取适量洗脱液测多酚浓度,按式(3)、(4)计算解吸量、解吸率。绘制静态解吸曲线。

$$Z = \frac{C_d \times V_d}{m} \tag{3}$$

$$Y = \frac{C_d \times V_d}{(C_0 - C_e) \times V_0} \times 100\%$$
 (4)

式中:

Z——树脂的解吸量,mg/g;

Y——树脂的解吸率,%;

 $C_d$ ——洗脱液中多酚的浓度,mg/mL;

 $V_d$ ——洗脱液的体积, mL;

m——吸附树脂的质量,mg;

 $C_0$ ——多酚提取液的初始质量浓度,mg/mL;

 $C_e$ ——吸附平衡后多酚的浓度,mg/mL;

V。——多酚提取液的体积, mL。

# 1.3.5 静态吸附与解吸附

- (1) 等温线的绘制:准确称取 6 份预处理后经滤纸吸干的树脂各 2 g,分别置于 150 mL 锥形瓶中,依次加入浓度分别为 0.4,0.6,0.8,1.0,1.2,1.4,1.6 mg/mL 的多酚样品液各 50 mL,密封后分别在 30 ℃水浴摇床振荡(120 r/min、24 h)充分吸附,取适量上清液测剩余多酚含量,计算不同浓度时树脂吸附多酚的含量。
- (2) pH 对吸附效果的影响:将提取的多酚样品液用 1% HCl 和 1% NaOH 调节 pH 分别为 2.8,4.8,5.8,6.8,8.8。按照 1.3.5(1)的方法,依次加入不同 pH 的样品液各50 mL,置于恒温振荡器(30 ℃、120 r/min、24 h)。测定平衡液中多酚含量。计算不同 pH 条件下吸附多酚的含量。
- (3) 乙醇浓度对解吸效果的影响:准确称取 8 份预处理后经滤纸吸干的树脂各 2 g,置于 150 mL 锥形瓶,依次加人 1.2 mg/mL 多酚样品液 50 mL,密封后水浴摇床振荡 (30  $^{\circ}$  、120 r/min、24 h),充分吸附后,测定平衡液中多酚浓度,计算吸附量。将树脂过滤后,依次用 30%,40%,50%,60%,70%,80%,90%,100%的乙醇溶液 50 mL 洗脱,密封后水浴摇床振荡 (30  $^{\circ}$  、120 r/min、24 h),测定解吸液中多酚含量。比较不同浓度乙醇对解吸附效果的影响。

# 1.3.6 动态吸附与解吸附

- (1) 样品液浓度的优选: 称取预处理后的树脂, 装入 20 mm×300 mm 层析柱 15 cm 处, 一段时间树脂平衡后, 配制浓度为 0.8,1.0,1.2,1.4,1.6,1.8 mg/mL 的样品液, 在 30 °C, pH 5.8(用 1% HCl 和 1% NaOH 调节)的条件下,分别以 1.0 mL/min 的速度对样品液进行动态吸附。收集流出液,测定平衡液中多酚含量, 计算吸附量。
- (2) 吸附液体积的确定:选取最佳样品液浓度以1.0 mL/min的流速上样,收集流出液,每流出 20 mL 样品液测其多酚含量。绘制流出液体积与多酚含量关系的曲线。
- (3) 解吸液体积的确定:使上述树脂达到吸附平衡后,用适量蒸馏水淋洗,用 70% 乙醇以 1.0 mL/min 的流速解吸,收集流出液,每流出 5 mL 解吸液测其多酚含量。绘制流出液体积与多酚含量关系的曲线。
- (4) 吸附流速的优选:选取如上最佳浓度的样品液,调节 pH 5.8,控制蠕动泵分别以 0.5,1.0,1.5,2.0,2.5 mL/min

- 的吸附流速,分瓶收集流出液测其体积和多酚浓度,计算吸附多酚含量。
- (5)解吸流速的优选:选取浓度为 1.0 mg/mL、pH 5.8 的样品液,以最佳吸附流速上样,直到吸附达到平衡后,取 70%乙醇分别以 0.5,1.0,1.5,2.0,2.5 mL/min 的流速对其洗脱,分瓶收集流出液测其吸光度。绘制不同洗脱流速下的解吸曲线。
- 1.3.7 经 X-5 纯化后总抗氧化能力测定 将纯化前后的样品液扫描紫外光谱,对比前后吸光度,考察纯化效果。分别取提取液和纯化后的洗脱液适量,用 70% 乙醇稀释 5 倍。采用 T-AOC 试剂盒,测定经 X-5 纯化前后总多酚的总抗氧化能力。

# 2 结果与分析

# 2.1 多酚标准曲线

通过对不同质量浓度多酚吸光值的测定,得到种子多酚的线性回归方程为Y=0.01392x+0.03692, $R^2=0.9995$ .

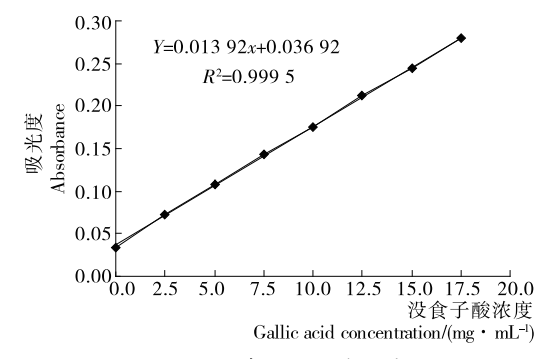


图 1 没食子酸标准曲线

Figure 1 The standard curve of gallic acid

# 2.2 树脂的优选

2.2.1 对 6种树脂的吸附量、吸附率、解吸附量、解吸附率的评定 由表 2可知,S-8和 X-5均有较高的吸附率,但 S-8的解吸率只有 41.75%,说明吸附量不仅仅与平均孔径有关,同时也受比表面积的影响,导致 S-8吸附的多酚不易被解吸出来<sup>[7]</sup>,由于 HPD500和 X-5的比表面积相对较大,因此解吸率也相对较高。通过吸附与解吸附率的宏观评定,初步筛选 X-5为官。

表 2 6 种树脂静态吸附与解吸试验结果

Table 2 The result of static adsorption and desorption rates of six macroporous resins

树脂型号	平衡浓度/	吸附量/	吸附率/	解吸量/	解吸率/
	$(mg \cdot mL^{-1})$	$(mg \cdot g^{-1})$	%	$(mg \cdot g^{-1})$	%
AB-8	0.3638	15.91	63.62	12.45	78.34
D101	0.2324	19.19	76.76	13.55	70.61
HPD500	0.2989	17.53	70.11	14.07	80.27
S-8	0.164 6	21.73	83.54	9.07	41.75
DM130	0.245 6	18.86	75.44	14.26	75.63
<b>X</b> -5	0.1827	20.43	81.73	17.14	83.91

2.2.2 6种树脂静态吸附的动态趋势 大孔树脂的吸附能力与极性、比表面积、孔径等因素有关。因此,考察几种不同类型的大孔树脂的吸附能力。由图 2 可知,6 种树脂都具有较快吸附多酚的能力,随着时间的变化,吸附速率在 1 h 后变化比较稳定,且在 12 h 时 6 种树脂均已经达到吸附平衡。但是不同树脂因理化性质不尽相同,对多酚的吸附量差别也较大。S-8 吸附量最大(21.73 mg/mL),其余依次为: X-5、D101、DM130、HPD500、AB-8。

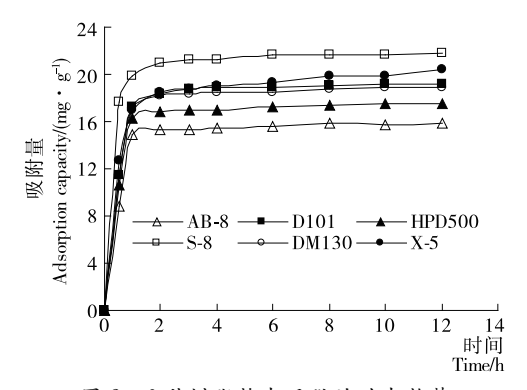


图 2 6 种树脂静态吸附的动态趋势

Figure 2 Static absorptive dynamics trend of six types of resins

2.2.3 6种树脂静态解吸附的动态趋势 由图 3 可知,6 种树脂解吸多酚的能力均不相同。解吸速率也有明显的差异,X-5 在 1 h时,解吸率已经达到 83.91%,且 2 h时基本已经达到平衡。其次,HPD500、AB-8 和 DM130 的解吸率较 X-5稍低,但均在 4 h 后才达到解吸平衡,时间较长。S-8 的解吸率最低只有 41.75%,可能是由于 S-8 的极性比解吸液的极性还要强所导致的。虽 D101 的解吸率较 S-8 高,但均 6 h 才达到解吸平衡。综合表 2 和图 2、3 可知,X-5 为最佳树脂。

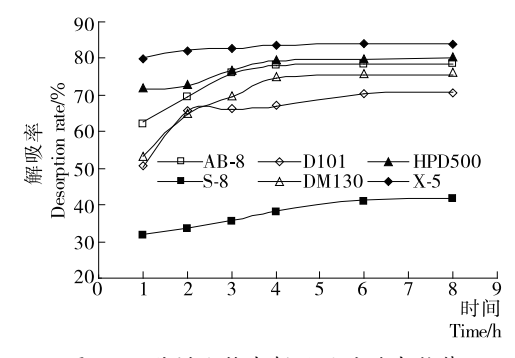
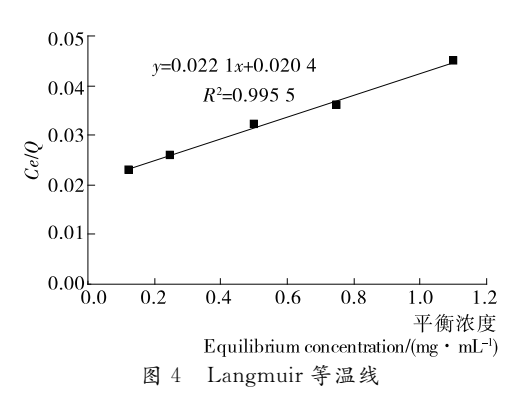


图 3 6 种树脂静态解吸附的动态趋势

Figure 3 Static desorption dynamics trend of six types of resins

# 2.3 静态吸附与解吸附

2.3.1 Langmuir 等温线 由图 4 可知, Langmuir 等温线  $R^2 = 0.995$  5, 说明此等温线可以用来描述神秘果种子多酚,  $Q_{m+} = 45.25$  mg/g 表明为单分子层吸附[8-9]。因此,较适用于低浓度吸附。



e 4 The Langmuir adsorption isotherm

2.3.2 pH 对吸附效果的影响 由图 5 可知,pH 对树脂吸附量影响显著。pH 值过高或过低都会导致吸附量下降。当 pH 在 2.8~5.8 时,随着 pH 增大吸附量升高。当 pH 为5.8 时,吸附量达到最大,为 24.4 mg/mL。当 pH 大于 5.8 时,吸附量降至更低。可能是种子多酚中含有某些不稳定且受 pH 影响较大的物质(如酚羟基),过碱会解离出氢离子,减弱氢键间作用力,使吸附量降低。弱酸条件多酚多以分子态存在,更易于树脂对多酚的吸附<sup>[10-11]</sup>。因此,选 pH 5.8 最佳。

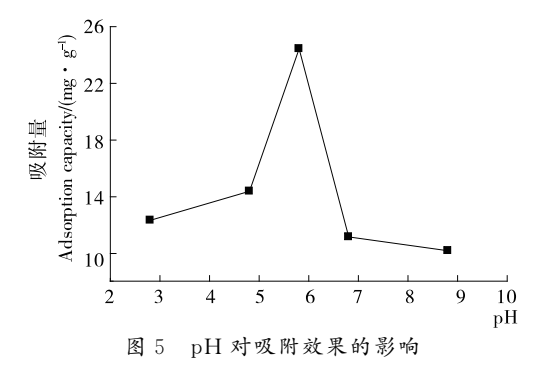


Figure 5 Influence of pH value on absorption capacity

2.3.3 乙醇浓度对解吸附效果的影响 乙醇浓度对大孔树脂的解吸附率有明显的影响,选用乙醇作为解吸液具有无毒、经济等优点。由图 6 可知,乙醇浓度为 30%时,解吸率很低,仅 59.8%。乙醇浓度增大至 70%时,解吸率达到最大(82.9%)。继续增大乙醇浓度,解吸率反而显著下降。可能是多酚易溶于水,所以高浓度的乙醇因含水量低不利于多酚溶解,乙醇浓度过低又不利于极性物质解吸出来[12-13]。因此,综合成本与效果,选 70%乙醇最佳。

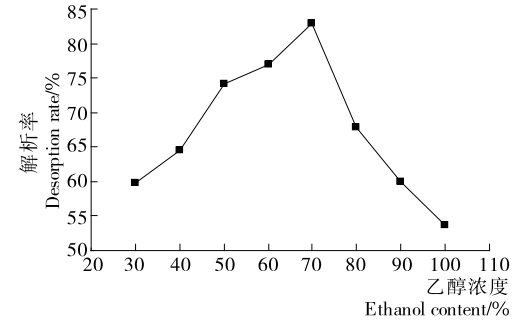


图 6 乙醇浓度对解吸附效果的影响

Figure 6 Influence of ethanol content on absorption capacity

#### 2.4 动态吸附与解吸附

2.4.1 样品浓度对吸附量的影响 由图 7 可知,低浓度时随着多酚浓度增大吸附量也随之升高,当浓度为 12 mg/mL时,吸附量达到最大(24.5 mg/mL)。继续增大样品浓度,吸附量持续下降。原因是低浓度时,多酚可与树脂的孔径充分接触,利于吸附。而增大浓度的同时,当多酚进入到树脂孔径内无法充分扩散,树脂吸附杂质的量也随之增多,甚至阻碍多酚进入孔径,导致吸附量下降。因此,样品液浓度为1.2 mg/mL最佳。

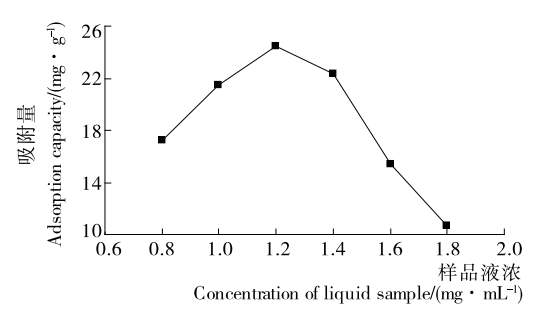


图 7 样品浓度对吸附量的影响

Figure 7 Influence of sample solution concentration on absorption capacity

2.4.2 吸附液体积与浓度的动态变化趋势 由图 8 可知, 样品液流出 15 mL前,流出液的浓度变化幅度稍大,随后 15 mL到 95 mL,浓度增大较为均匀。流出 95 mL以后,浓度 不再变化,说明树脂已经吸附饱和。因此,考虑效果与耗时 因素,上样 100 mL 最佳。

2.4.3 解吸液体积与浓度的动态变化趋势 由图 9 可知,解

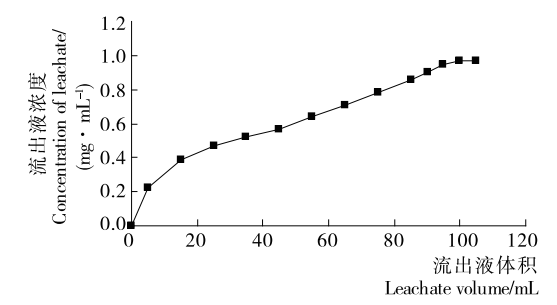


图 8 吸附液体积与浓度的动态变化趋势

Figure 8 Dynamic changes trend of the adsorption volume and concentration

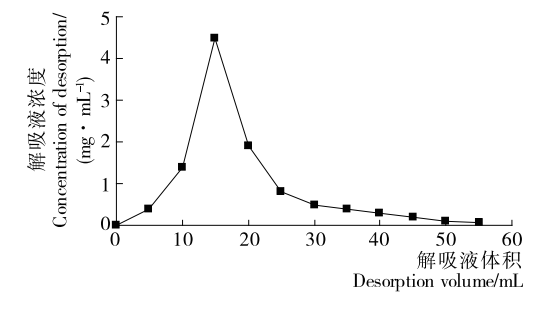


图 9 解吸液体积与浓度的动态变化趋势

Figure 9 Dynamic change trend of parsing fluid volume and concentration

吸液体积 5~10 mL 时,已有少量多酚解吸出来。随着体积增大,解吸液浓度迅速升高,15 mL 时浓度达到最大(4.5 mg/mL)。随着体积继续增大,浓度逐渐降低,50 mL时解吸液的浓度趋近于零,之后浓度变化甚小。说明此时多酚已被完全解吸。因此,考虑回收因素,选 50 mL 解吸液最佳。

2.4.4 吸附液流速对吸附量的影响 由图 10 可知,流速过低(0.5 mL/min)时,吸附量只有 10.2 mg/g。当流速为 1 mL/min时,吸附量可达到最大值(20.4 mg/g)。相对于 0.5 mL/min,吸附量增大了 1 倍。而继续增大吸附液流速,吸附量却呈现降低趋势。原因是高吸附液流速的多酚物质还没来得及被树脂吸附就流出,使多酚与树脂的接触时间过短<sup>[14-15]</sup>。但吸附流速若太低,使树脂的孔径不能得到充分利用吸附不完全,会延长吸附周期。因此,综合考虑选 1 mL/min为最佳吸附流速。

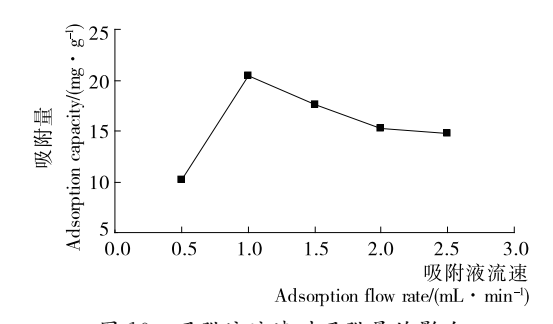


图 10 吸附液流速对吸附量的影响

Figure 10 Influence of adsorption flow rate on absorption capacity

2.4.5 解吸液流速对解吸率的影响 由图 11 可知,解吸液流速为 0.5 mg/min 时,解吸率为 76.4%,当流速达到 1.5 mg/min时,解吸率达到最大(83.9%)。流速大于 1.5 mL/min时,解吸液与多酚接触时间短作用不充分,洗脱不完全,导致解吸率降低[16-18]。因此,选 1.5 mL/min 为解吸流速。

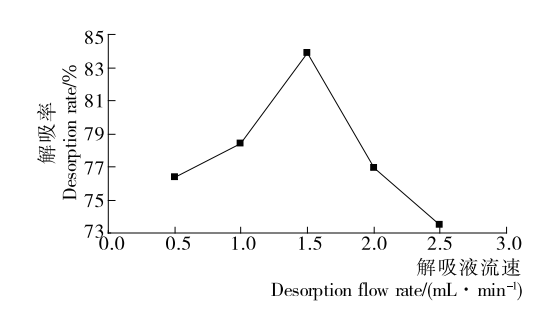


图 11 解吸液流速对解吸率的影响

Figure 11 Influence of desorption flow rate on desorption capacity

# 2.5 纯化后总多酚含量和总抗氧化能力测定

由图 12 可知,纯化前后紫外图谱走势相同,而且纯化后的吸光度明显高于纯化前,280 nm 存在多酚的特征峰,说明此工艺纯化效果良好。

提取与活性

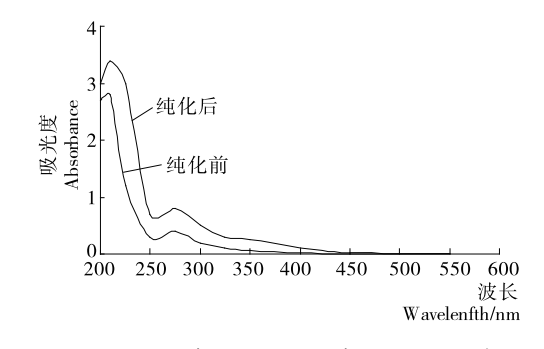


图 12 种子多酚溶液纯化前后的吸收曲线 e 12 Absorption curve of seed polyphenols solution

Figure 12 Absorption curve of seed polyphenols solution before and after purification

经优化方案纯化后,神秘果种子多酚提取液中总多酚含量由原来的 0.92 mg/g 提高到 1.93 mg/g,提高了 2 倍。通过 T-AOC 试剂盒测定,纯化前总抗氧化能力为 467.7 U/mL,纯化后为 1.169.3 U/mL,提高了 2.5 倍。说明纯化效果良好。

# 3 结论

- (1) 以吸附量、吸附率、解吸量、解吸率为评定参数,结合静态吸附与解吸附的动态趋势曲线,比较(AB-8、D101、HPD-500、S-8、DM130、X-5)6种树脂对神秘果种子多酚的纯化效果,优选出 X-5 为最佳吸附树脂。
- (2) 静态吸附与解吸附表明:神秘果种子多酚的等温曲线符合 Langmuir 等温线,由斜率和截距可知最大吸附量为45.25 mg/g,说明 X-5 对神秘果种子多酚是单分子层吸附,因此,适于选用低浓度样品液。pH 5.8 时吸附效果好,解吸液选用 70% 乙醇时解吸率高。
- (3) 动态吸附与解吸附表明,最佳条件为:样品液浓度 1.2 mg/mL、吸附液体积 100 mL、解吸液体积 50 mL、吸附液流速 1.0 mL/min、解吸液流速 1.5 mL/min。解吸曲线对称性良好,无拖尾,解吸液用量少,解吸完全。因此,适用于吸附神秘果种子多酚。
- (4) 按筛选出的吸附与解吸条件经 X-5 纯化后,神秘果种子多酚提取液中总多酚含量提高了 2 倍。采用 T-AOC 试剂盒测定,总抗氧化能力提高了 2.5 倍。说明如上方案适用于对神秘果种子多酚的纯化。

## 参考文献

- [1] 卢圣楼, 刘红, 曹佳佳, 等. 神秘果中齐墩果酸和五环三萜含量的测定[J]. 食品工业, 2012, 33(3): 130-133.
- [2] 齐赛男, 贾桂云, 卢圣楼, 等. 神秘果种子挥发油化学成分的气相色谱—质谱分析[J]. 海南师范大学学报: 自然科学版, 2012, 25(1): 73-76.
- [3] 卢圣楼, 刘红, 贾桂云, 等. 神秘果叶营养成分分析与评价[J]. 食品研究与开发, 2014, 35(17): 111-114.
- [4] 陈亮,李医明,陈凯先,等. 植物多酚类成分提取分离研究进展

- 「」「, 中草药, 2013, 44(11): 1 501-1 507.
- [5] 张晓丽,曾晓雄,李春阳,等. 菜籽多酚提取工艺的优化[J]. 食品与机械,2012,28(2):142-146.
- [6] Guo Hai-dong, Zhang Qing-feng, Chen Ji-guang, et al. Large scale purification of puerarin from puerariae *Lobatae Radix* through resins adsorption and acid hydrolysis [J]. Journal of Chromatography B, 2015, 980; 8-15.
- [7] Ceorge E, Chen Die-jun. Contents of phenolics and flavonoids and antioxidant activities in skin, pulp, and seeds of miracle fruit [J]. Food Science, 2011, 76(3); C479-C482.
- [8] Du Li-qing, Shen Yi-xiao, Zhang Xiu-mei, et al. Antioxidant-rich phytochemicals in miracle berry (Synsepalum dulcificum) and antioxidant activity of its extracts [J]. Food Chemistry, 2014, 153(9): 279-284.
- [9] 李志洲. 微波辅助提取石榴叶中多酚类物质的工艺[J]. 食品与机械,2009,25(4):72-75.
- [10] Li Xiao-juan, Fu Jie-yu, Luo Meng, et al. Preparative separation of dryofragin and aspidin BB from *Dryopteris fragrans* extracts by macroporous resin column chromatography[J]. Journal of Pharmaceutical and Biomedical Analysis, 2012, 61(5): 199-206.
- [11] Claire L B, Florence L, Dominique P, et al. Purification of organic acids by chromatography: Adsorption isotherms and impact of elution flow rate[J]. Separation and Purification Technology, 2015, 141: 105-112.
- [12] Zhao Zhan-yi, Dong Lu-lu, Wu Yan-li, et al. Preliminary separation and purification of rutin and quercetin from Euonymus alatus (Thunb.) Siebold extracts by macroporous resins[J]. Food and Bioproducts Processing, 2011, 89(4): 266-272.
- [13] 张赟彬, 李彩侠, 吴亚卿. 黄酮类化合物的研究进展[J]. 食品研究与开发, 2005, 21(5): 77-73.
- [14] 赵玉红,翟延安,党媛,等.响应面法优化樟子松树皮松多酚 纯化工艺研究[J].北京林业大学学报,2014,36(1):138-142.
- [15] 张智,于震,王振宇,等. 落叶松树皮多酚纯化工艺研究[J]. 食品工业科技, 2014, 35(5): 187-191.
- [16] 王旭苹,杨磊,杨小兰,等. 大孔树脂纯化酒花多酚及其组成分析[J]. 食品科学,2013,34(22):15-20.
- [17] 郝鹏飞,黄昀,李勇,等.辣椒叶多酚纯化工艺研究[J].食品工业科技,2013,34(11):206-209.
- [18] 袁英姿,曹清明,钟海雁,等. 大孔吸附树脂纯化油茶籽多酚的研究[J]. 食品与机械,2009,25(1):61-63,85.